

# МОДИФИЦИРОВАННЫЙ АЛГОРИТМ ОПТИМИЗАЦИИ ГОРИЗОНТАЛЬНОГО МАНЁВРА ВЕРТОЛЁТА НА ОСНОВЕ НЕЛИНЕЙНОЙ МОДЕЛИ

Андреев И.А., Дрёмов Ф.В.

Сызранский военный авиационный институт, г. Сызрань

Повышение эффективности применения вертолётов, как показывает опыт, достигается, в значительной степени, за счёт максимального уменьшения высоты и сокращения времени выполнения манёвров. Рассматривается задача оптимизации по времени часто выполняемого на малых и предельно-малых высотах горизонтального манёвра "разгон-торможение".

Манёвр состоит из 3-х этапов: на 1-ом этапе вертолёт из состояния висения изменяет угол тангажа от балансировочного  $\vartheta_b$  до потребного  $\vartheta_{np}$  за минимум времени  $\Delta t_{np}$ ; на 2-ом этапе в течение заданного времени  $t_c$  происходит разгон вертолёта с неизменным или несущественно изменяющимся по времени углом тангажа  $\vartheta_c = \vartheta_{np} + \Delta\vartheta(t)$ , где  $\Delta\vartheta(t)$  - поправка, которая может задаваться бортовым вычислителем; на 3-ем этапе - этапе перевода(вывода) вертолёта в состояние висения - осуществляется вариант наиболее интенсивного торможения и зависание вертолёта. При осуществлении посадки этот этап соответствует выдерживанию вертолота. Центр масс вертолёта при выполнении манёвра движется по горизонтальной прямой.

На 1-ом и 2-ом этапах успешно применяется известный алгоритм оптимизации вертолёта [1;2;3] без каких-либо изменений. Отметим только следующую особенность - путевые параметры : координата  $x_g$ , скорость  $\dot{x}_g$  и ускорение  $\ddot{x}_g$  свободны, их числовые значения являются следствием управления по углу тангажа.

На 3-ем этапе в соответствии с [1;2;3] опорная программная траектория, конечные и начальные условия имеют вид:

$$x_{g_n}(t) = c_{10} + c_{11}t + c_{12}t^2/2 + c_{13}t^3/6 + c_{14}t^4/12 + c_{15}t^5/20 + c_{16}t^6/30; \quad (1)$$

$$\dot{x}_{g_n}(t) = c_{11} + c_{12}t + c_{13}t^2/2 + c_{14}t^3/3 + c_{15}t^4/4 + c_{16}t^5/5 ;$$

$$\ddot{x}_{g_n}(t) = c_{12} + c_{13}t + c_{14}t^2 + c_{15}t^3 + c_{16}t^4 .$$

$$y_{g_n} = y_{g_{oc}} ; \quad \dot{y}_g(t) = 0 ; \quad \ddot{y}_g(t) = 0 . \quad (2)$$

$$t_0 = t_{oc} : \quad x_g = x_{g_{oc}} ; \quad \dot{x}_g = \dot{x}_{g_{oc}} ; \quad \ddot{x}_g = \ddot{x}_{g_{oc}} ; \quad y_g = y_{g_{oc}} ; \quad (3)$$

$$\dot{y}_g = 0 ; \quad \ddot{y}_g = 0 ; \quad \vartheta = \vartheta_{oc} ; \quad \dot{\vartheta} = 0 ; \quad \ddot{\vartheta} = 0 .$$

$$t_k = t_0 + T_a : \quad \dot{x}_g = 0 ; \quad \ddot{x}_g = 0 ; \quad y_g = y_{g_{oc}} ; \quad \dot{y}_g = 0 ; \quad \ddot{y}_g = 0 ; \quad (4)$$

$$\vartheta = \vartheta_{oal} ; \quad \dot{\vartheta} = 0 ; \quad \ddot{\vartheta} = 0 .$$

Здесь индекс g означает, что параметр рассматривается в земной системе координат; индекс n означает опорный (потребный); индекс oc - окончание этапа 2.

В конечных условиях (4) неизвестна координата  $x_{g_{нк}} = x_{g_k}$ .

Выбор длины траектории на 3-м этапе  $\Delta x_{g_a} = (x_{g_{нк}} - x_{g_{н0}})$  вместе с другими исходными данными: массой, моментом инерции -  $J_z$ , продольной центровкой -  $x_T$  вертолета, высотнo-климатическими условиями определяют минимум времени  $T_{\text{вmin}}$ , необходимого на торможение и зависание вертолета.

Закон формирования потребных угловых параметров при отслеживании опорной траектории (1) определяется уравнениями (5).

$$\ddot{g}_n = 0; \quad (5)$$

$$\dot{g}_n = \frac{60(x_{g_n} - x_g)}{\Delta T^3} + \frac{36(\dot{x}_{g_n} - \dot{x}_g)}{\Delta T^2} + \frac{9(\ddot{x}_{g_n} - \ddot{x}_g)}{\Delta T} \left(-\frac{m}{T \cos g}\right);$$

$$g_n = g + \dot{g}_n \tau_{g_{\text{уп}}},$$

где  $g$  - текущее значение угла тангажа;  $\tau_{g_{\text{уп}}}$  - время упреждения;

$T$  - тяга несущего винта (НВ);  $m$  - масса вертолета;  $\Delta T = T_g$ .

Однако есть обстоятельства, существенно затрудняющие процесс оптимизации опорной траектории (1) с использованием алгоритма отслеживания (5). Они обусловлены спецификой вертолета как ЛА, заключающейся в существенном влиянии угла атаки НВ  $\alpha_H$  на потребный крутящий момент  $M_{кр}$  при характеристике режима работы НВ  $\mu > 0,08 + 0,09$ , сильной взаимосвязи оборотов НВ и мощности силовой установки, относительно большом времени приемистости двигателей. Сложившаяся летная практика гашения путевой скорости методом "торможения несущим винтом", рекомендации летчику, определяемые инструкцией, позволяют предложить более рациональный по сравнению с обычным алгоритм оптимизации процесса движения на 3-м этапе рассматриваемого маневра. Отметим, что метод "торможения несущим винтом" - вариант наиболее интенсивного торможения рожден летной практикой и подтвержден многочисленными расчетами. Интенсивность торможения задается изменением угла тангажа (увеличением  $\alpha_H$ ). Общим шагом и ручкой управления выдерживаются ограничения на высоту полета и обороты НВ.

Предлагается 3-й этап разбить на 2 части: участок интенсивного торможения и участок перевода вертолета в состояние висения; вместо опорной траектории (1) ввести на обоих участках опорные траектории (6).

$$g_n = g_{n0} + \dot{g}_{n0}t + \ddot{g}_{n0}t^2/2 + c_{33}t^3/6 + c_{34}t^4/12 + c_{35}t^5/20; \quad (6)$$

$$\dot{g}_n = \dot{g}_{n0} + \ddot{g}_{n0}t + c_{33}t^2/2 + c_{34}t^3/3 + c_{35}t^4/4;$$

$$\ddot{g}_n = \ddot{g}_{n0} + c_{33}t + c_{34}t^2 + c_{35}t^3;$$

Начальные и конечные условия (7), (8):

1-й участок

$$t_{0g_1} = t_{oc}; \quad g_{0g_1} = g_{oc}; \quad \dot{g}_{0g_1} = \ddot{g}_{0g_1} = 0; \quad (7)$$

$$t_{кв_1} = t_{0\sigma_1} + \Delta t_{\sigma_1}; \quad \mathcal{G}_{кв_1} = \begin{cases} \mathcal{G}_{\max}, & \text{если } \mathcal{G}_{нр} < \mathcal{G}_{бал}; \\ \mathcal{G}_{\min}, & \text{если } \mathcal{G}_{нр} > \mathcal{G}_{бал}; \end{cases} \quad \dot{\mathcal{G}}_{кв_1} = 0;$$

2-й участок

$$t_{0\sigma_2} = t_{кв_1}; \quad \mathcal{G}_{0\sigma_2} = \mathcal{G}_{кв_1}; \quad \dot{\mathcal{G}}_{0\sigma_2} = \ddot{\mathcal{G}}_{0\sigma_2} = 0; \quad (8)$$

$$t_{кв_2} = t_{0\sigma_2} + \Delta t_{\sigma_2}; \quad \mathcal{G}_{кв_2} = \mathcal{G}_{бал}; \quad \dot{\mathcal{G}}_{кв_2} = \ddot{\mathcal{G}}_{кв_2} = 0.$$

Содержание алгоритма оптимизации сводится к следующему:

1. На 1-м участке задается параметр  $\Delta \mathcal{G}_{\sigma_1} = \mathcal{G}_{кв_1} - \mathcal{G}_{0\sigma_1}$ , варьируется параметр  $\Delta t_{\sigma_1} = T_{\sigma_1}$  и выбирается такое минимальное значение  $\Delta t_{\sigma_1} = T_{\sigma_1 \min}$ , что конечное состояние  $\Delta \mathcal{G}_{кв_1} = \mathcal{G}_{0\sigma_1} + \mathcal{G}_{\sigma_1}$ ;  $\dot{\mathcal{G}}_{кв_1} = \ddot{\mathcal{G}}_{кв_1} = 0$  достигается с заданной точностью при выдерживании заданной высоты и ограничений на обороты НВ.
2. На 2-м участке варьируется параметр  $\Delta t_{\sigma_2} = T_{\sigma_2}$  и выбирается такое минимальное значение  $T_{\sigma_2 \min}$ , что конечное состояние  $\mathcal{G}_{кв_2} = \mathcal{G}_{бал}$ ;  $\dot{\mathcal{G}}_{кв_2} = \ddot{\mathcal{G}}_{кв_2} = 0$  достигается с заданной точностью при выдерживании заданной высоты и ограничений на обороты НВ.
3. Если модуль путевой скорости больше допустимой погрешности  $\varepsilon$  по достижении  $\mathcal{G}_{бал}$ , то производится корректировка параметра  $\Delta \mathcal{G}_{\sigma_1}$ :  $\Delta \mathcal{G}_{\sigma_1} + \Delta \mathcal{G}$ , при  $\dot{x}_g(\mathcal{G}_{бал}) > \varepsilon$ ;

$$\text{если } \mathcal{G}_{0\sigma_1} < \mathcal{G}_{бал}, \text{ то } \Delta \mathcal{G}_{\sigma_1} = \Delta \mathcal{G}_{\sigma_1} - \Delta \mathcal{G}, \text{ при } \dot{x}_g(\mathcal{G}_{бал}) < -\varepsilon;$$

$$\Delta \mathcal{G}_{\sigma_1} - \Delta \mathcal{G}, \text{ при } \dot{x}_g(\mathcal{G}_{бал}) < -\varepsilon;$$

$$\text{если } \mathcal{G}_{0\sigma_1} > \mathcal{G}_{бал}, \text{ то } \Delta \mathcal{G}_{\sigma_1} = \Delta \mathcal{G}_{\sigma_1} + \Delta \mathcal{G}, \text{ при } \dot{x}_g(\mathcal{G}_{бал}) > \varepsilon;$$

Алгоритм прост, так как при задании процесса торможения через изменение угла тангажа, малым вариациям  $\Delta t_{\sigma_1}$ ,  $\Delta \mathcal{G}_{\sigma_1}$ ,  $\Delta t_{\sigma_2}$  соответствуют соизмеримые и просто объясняемые изменения потребных и текущих значений параметров вращательного движения и движения центра масс.

На рис.1. в качестве примера приведены результаты расчета оптимального по времени горизонтального маневра.

#### Список литературы

1. Нелюбов А.И. Летные характеристики и боевое маневрирование летательных аппаратов. Выпуск 2.-М.:ВВИА, 1986
2. Дремов Ф.В. К созданию математической модели оптимальных режимов набора высоты и снижения по вертикали. Аэродинамика летательных аппаратов. Ч.1. Научно-методические материалы.-М.:ВВИА, 1989

3. Дремов Ф.В. Математическая модель оптимизации углового движения вертолета в продольной плоскости на висении и малых поступательных скоростях полета. Отчет по НИР "Винт-3", Ч.2.-Сызрань: СВВАУЛ, 1986

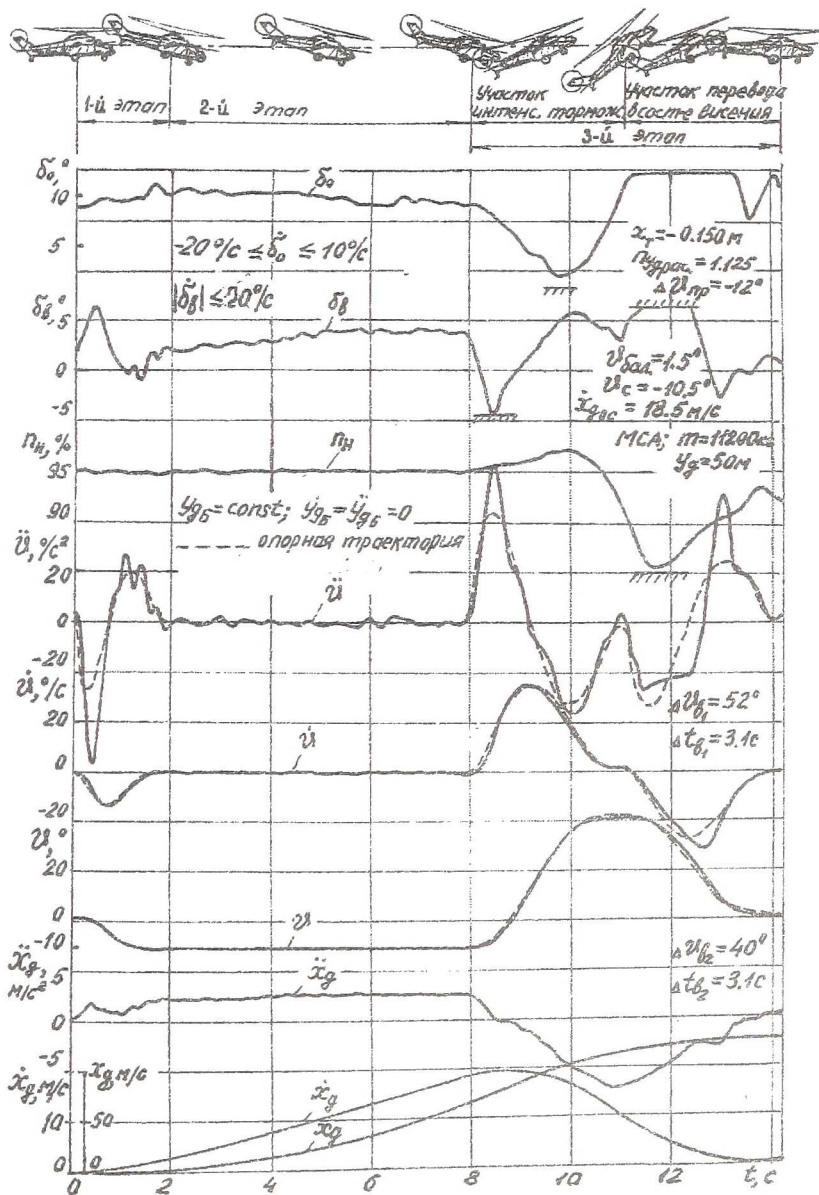


Рисунок 1